



# Convolución y Filtrado

JIMENA OLVERES MONTIEL  
BORIS ESCALANTE RAMÍREZ



U.N.A.M. Facultad Ingeniería.  
**Laboratorio Avanzado de Procesamiento de Imágenes**  
Edificio de Posgrado e Investigación 2º piso,  
Ciudad Universitaria, México, D.F., 04510  
Tel: +52-55-56161719  
<http://lapi.fi-p.unam.mx>

TODOS LOS DERECHOS RESERVADOS \* MÉXICO - 2011

1

1

## Los métodos de procesamiento pueden dividirse en:

- **Métodos del espacio:**
  - Trabajan procesando directamente el arreglo de píxeles de entrada.
  - Se modifican directamente los píxeles de la imagen.
  - Se trata de algoritmos locales que transformarán o bien el valor de cada píxel tomado individualmente, o bien el de un pequeño conjunto de ellos.
- **Métodos de la frecuencia:**
  - Son costosos.
  - Basados en la frecuencia, se modificará la transformada de Fourier de la imagen, wavelet, coseno, etc..

Ambos enfoques no se excluyen mutuamente y de hecho en algunas aplicaciones debe usarse una combinación de ellos.

UNAM \* TODOS LOS DERECHOS RESERVADOS © MÉXICO, 2011

2

## Los métodos de procesamiento pueden dividirse en:



➤ **Dominio del espacio**

$$f(u,v) \rightarrow h(u,v) \rightarrow g(u,v) = f(u,v) * h(u,v)$$

➤ **Dominio de la frecuencia (transformada de Fourier, del Coseno, wavelet, etc)**

$$f(u,v) \xrightarrow{F\{f(u,v)\}} F(p,q) \xrightarrow{H(p,q)} G(p,q) = F(p,q) \cdot H(p,q) \xrightarrow{F^{-1}\{G(p,q)\}} g(u,v)$$

- $u, v$ : coordenadas espaciales (plano imagen)
- $p, q$ : frecuencias espaciales (frecuencia en la dirección de  $u$  y  $v$  respectivamente).
- $h(u,v)$ : respuesta al impulso (respuesta a un punto de luz intenso caracterizado por la función delta de Dirac).
- $H(p,q)$ : Función de transferencia del filtro.
- $*$ : operador convolución

3

## 3.1. Filtros y convoluciones.

- **Recordatorio:** en las transformaciones **globales**, cada píxel de salida depende sólo de un píxel de entrada.

90	67	75	78
92	87	78	82
45	83	80	130
39	69	115	154

**Entrada**

**Salida**

Transf. global

➔

Transf. local

➔

62	68	78	81
102	89	76	85
83	109	80	111
69	92	115	120

- No se tiene en cuenta la relación de **vecindad** entre píxeles. El resultado no varía si los píxeles son *permutados* aleatoriamente y después *reordenados*.
- **Transformación local:** el valor de un píxel depende de la vecindad local de ese píxel.

4

### 3.1. Filtros y convoluciones.

- **Transformación global:**

$$R(x,y) := f(A(x,y)) \quad \text{ó} \quad R(x,y) := f(A(x,y), B(x,y))$$

- **Filtros y transformaciones locales:**

$$R(x,y) := f(A(x-k,y-k), \dots, A(x,y), \dots, A(x+k,y+k))$$

- **Ejemplo. Filtro de la media.**

$$R(x,y) := (A(x-1,y-1) + A(x,y-1) + A(x-1,y) + A(x,y))/4$$

92	78	82
45	80	130
39	115	154

$\Sigma / 4$

-	-	-
-	74	93
-	70	120

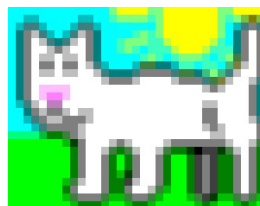
5

### 3.1. Filtros y convoluciones.

- **Ejemplo. Entrada, A**



Salida, R



- **Resultado:** la imagen se suaviza, difumina o emborriona.
- Las transformaciones locales tienen sentido porque existe una relación de **vecindad** entre los píxeles.
- **Recordatorio:** un píxel representa una magnitud física en un punto de una escena → dos píxeles próximos corresponden a puntos cercanos de la escena → el mundo es "continuo" → los píxeles próximos tendrán valores parecidos.

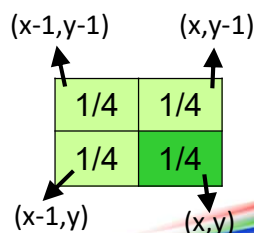
6

### 3.1. Filtros y convoluciones.

- Un tipo interesante de transformaciones locales son las convoluciones discretas.
- **Convolución discreta:** transformación en la que el valor del píxel resultante es una **combinación lineal** de los valores de los píxeles vecinos en la imagen.
- **Ejemplo.** El filtro de la media es una convolución.  

$$R(x,y) := 1/4 \cdot A(x-1,y-1) + 1/4 \cdot A(x,y-1) + 1/4 \cdot A(x-1,y) + 1/4 \cdot A(x,y)$$

- **Otra forma de ver la convolución:**  
Matriz de coeficientes de la combinación lineal.



7

### 3.1. Filtros y convoluciones.

- La matriz de coeficientes es conocida como la **máscara o núcleo (kernel) de convolución**.
- **Idea intuitiva:** se pasa la máscara para todo píxel de la imagen, aplicando los coeficientes según donde caigan.

Máscara de convolución

·1/4	·1/4
·1/4	·1/4

Imagen de entrada, **A**

92	78	82
45	80	130
39	115	154

¿Cuánto valen estos píxeles?

Imagen de salida, **R**


$\Sigma$

8

### 3.1. Filtros y convoluciones.

- Sea **M** una máscara de convolución. Se puede definir como **array [-k...k, -p...p] de real**
- Algoritmo.** Cálculo de una convolución.  
Denotamos la convolución como:  $R := M \otimes A$
- Entrada.** A: imagen de  $\max_x \times \max_y$   
M: array [-k...k, -p...p] de real
- Salida.** R: imagen de  $\max_x \times \max_y$
- Algoritmo:**  
**para cada** píxel (x, y) de la imagen A **hacer**

$$R(x, y) := \sum_{i=-k..k} \sum_{j=-p..p} M(i, j) \cdot A(x+i, y+j)$$

En **X** la máscara va de -k a k, y en **Y** de -p a p. El punto central es (0,0)

UNAM - TODOS LOS DERECHOS RESERVADOS © MÉXICO, 2011

9

### 3.1. Filtros y convoluciones.

- Ejemplos.**  $R := M \otimes A$

**M**

1/9	1/9	1/9
1/9	1/9	1/9
1/9	1/9	1/9

**M**

1	1	1
1	1	1
1	1	1

1/9 ·

**N**

-1	1
----	---

**Punto central o ancla (anchor)**

El valor de un píxel es la media de los 9 píxeles circundantes

Igual que antes, pero factorizamos el múltiplo común (suma total = 1)

Restar al píxel el valor del píxel de la izquierda

**A**

**R**

**R**

UNAM - TODOS LOS DERECHOS RESERVADOS © MÉXICO, 2011

10

### 3.1. Filtros y convoluciones.

- Sobre una imagen se pueden aplicar sucesivas operaciones de convolución: ... $M_3 \otimes (M_2 \otimes (M_1 \otimes A))$

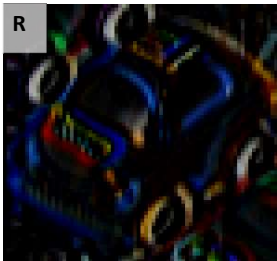


A



R

Máscara de media aplicada 4 veces



R

Máscara de media + máscara de resta

- Ojo:** la combinación de convoluciones es equivalente a una sola convolución:  

$$M_2 \otimes (M_1 \otimes A) = M \otimes A$$

11

### 3.1. Filtros y convoluciones.

- ¿Cómo calcular el resultado de la combinación?
- Respuesta:** comprobar el efecto sobre una imagen sólo con el píxel central a UNO ("señal impulso").

-1	1
----	---

$\otimes 1/9 \cdot$

1	1	1
1	1	1
1	1	1

$\otimes$

0	0	0	0	0
0	0	0	0	0
0	0	1	0	0
0	0	0	0	0
0	0	0	0	0

$=$

0	0	0	0	0
0	1	1	1	0
0	1	1	1	0
0	1	1	1	0
0	0	0	0	0

$= 1/9 \cdot$

0	0	0	0	0
0	1	0	0	-1
0	1	0	0	-1
0	1	0	0	-1
0	0	0	0	0

Máscara equivalente

12

### 3.1. Filtros y convoluciones.

- Análogamente, algunas convoluciones se pueden obtener combinando otras más simples: **núcleos separables**.
- Ejemplo.**

$1/3 \cdot$ 

1
1
1

$\otimes 1/3 \cdot$ 

1	1	1
---	---	---

$\otimes A = 1/9 \cdot$ 

1	1	1
1	1	1
1	1	1

$\otimes A$

- Resultado:** el filtro de la media es separable.
  - En lugar de aplicar una máscara de 3x3 se pueden aplicar dos máscaras de 1x3 y 3x1 (**máscaras unidimensionales**).
  - Puede ser útil para hacer los cálculos más **eficientes**.

13

### 3.1. Filtros y convoluciones.

- ¿Qué hacer con los píxeles de los bordes?

·1/4	·1/4
·1/4	·1/4

$\otimes$

9	4	8
7	8	4
3	2	2

- Posibilidades:**
  - Asignar un 0 en el resultado a los píxeles donde no cabe la máscara.
 

0	0	0
0	7	6
0	5	4
  - Suponer que los píxeles que se salen tienen valor 0 (u otra constante).
 

2	3	3
4	7	6
2	5	4
  - Modificar la operación en los píxeles que no caben (variar el multiplicador).
 

9	6	6
8	7	6
5	5	4
  - Suponer que la imagen se extiende por los extremos (p.ej. como un espejo).
 

5	4	4
7	7	6
8	5	4

14

### 3.1. Filtros y convoluciones.

- Las convoluciones son una discretización de la idea de convolución usada en señales. (Repasar teoría de señales...)
- **Diferencias:** las convoluciones usadas aquí son discretas y bidimensionales.
- **Idea:** las máscaras de convolución son matrices de números → se pueden considerar, a su vez, como imágenes.
- **Propiedades:**
  - **Asociativa:**  $M2 \otimes (M1 \otimes A) = (M2 \otimes M1) \otimes A$
  - **Conmutativa:**  $M2 \otimes M1 \otimes A = M1 \otimes M2 \otimes A$
  - **Ojo:** al aplicar una convolución puede ocurrir  **saturación**  de píxeles. Si ocurre esto, el orden sí que puede ser importante.

15

### 3.2. Suavizado, perfilado y bordes.

- Aplicando distintos operadores de convolución es posible obtener **diferentes efectos**:
  - **Suavizado:** o difuminación de la imagen, reducir contrastes abruptos en la imagen.
  - **Perfilado:** resaltar los contrastes, lo contrario al suavizado.
  - **Bordes:** detectar zonas de variación en la imagen.
  - **Detección** de cierto tipo de características, como esquinas, segmentos, etc.
- Suavizado y perfilado son más habituales en **restauración y mejora** de imágenes.
- Bordes y detección de características suelen usarse más en **análisis de imágenes**.

16

### 3.2.1. Operadores de suavizado.

- El operador de suavizado más simple es la **convolución de media** (media aritmética).
- **Parámetros** del operador:
  - Ancho y alto de la región en la que se aplica:  $w \times h$ .
  - Posición del ancla.
- Normalmente,  $w$  y  $h$  son impares y el ancla es el píxel central.
- La máscara es un simple array de unos de tamaño  $w \times h$ .

1	1	1
1	1	1
1	1	1

Máscara de media de 3x3

1	1	1	1	1
1	1	1	1	1
1	1	1	1	1
1	1	1	1	1
1	1	1	1	1

Media de 5x5

17

### 3.2.1. Operadores de suavizado.

- Cuanto mayor es la máscara, mayor es el efecto de **difuminación** de la imagen.



Imagen de entrada  
(340x230)



Media de 5x5



Media de 11x11

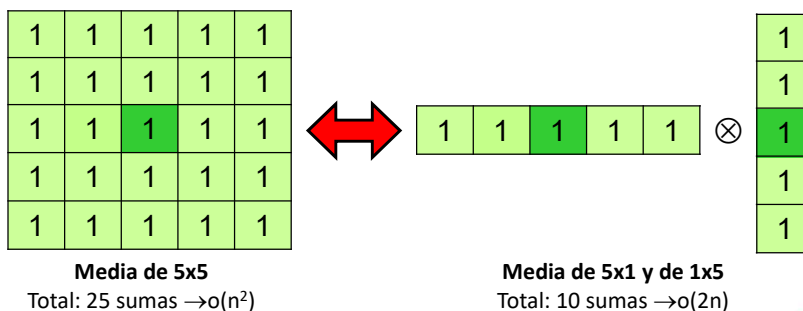


Media de 21x21

18

### 3.2.1. Operadores de suavizado.

- **Ventajas** (respecto a otros suavizados):
  - Sencillo y rápido de aplicar.
  - Fácil definir un comportamiento para los **píxeles de los bordes**: tomar la media de los píxeles que quepan.
  - Recordatorio: el operador de media es **separable**.



19

### 3.2.1. Operadores de suavizado.

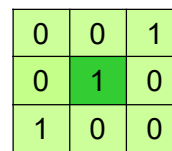
- En algunos casos puede ser interesante aplicar **suavizados direccionales**: horizontales, verticales o en cualquier dirección.



Media horizontal 5 píxeles



Media vertical 3p



Media diagonal 3p



Media horiz. 31p

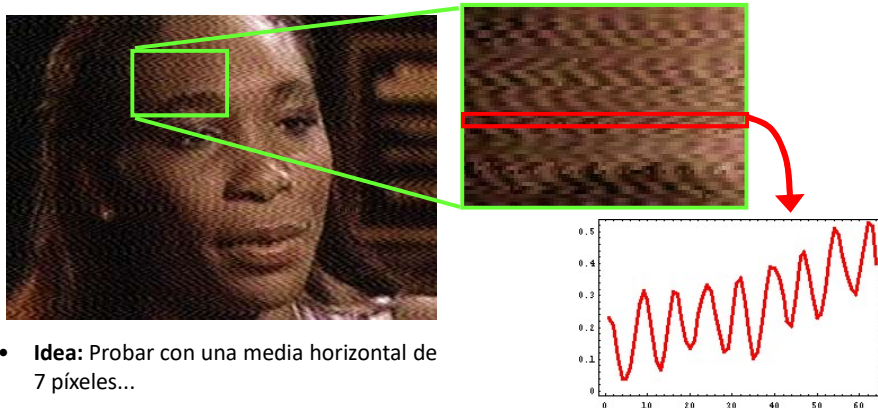


Media vert. 31p

20

### 3.2.1. Operadores de suavizado.

- **Ejemplo 1.** En una aplicación trabajamos con imágenes capturadas de TV. El canal tiene muchas interferencias, que provocan una oscilación cada 7 píxeles horizontales. ¿Cómo reducir el efecto de las interferencias?

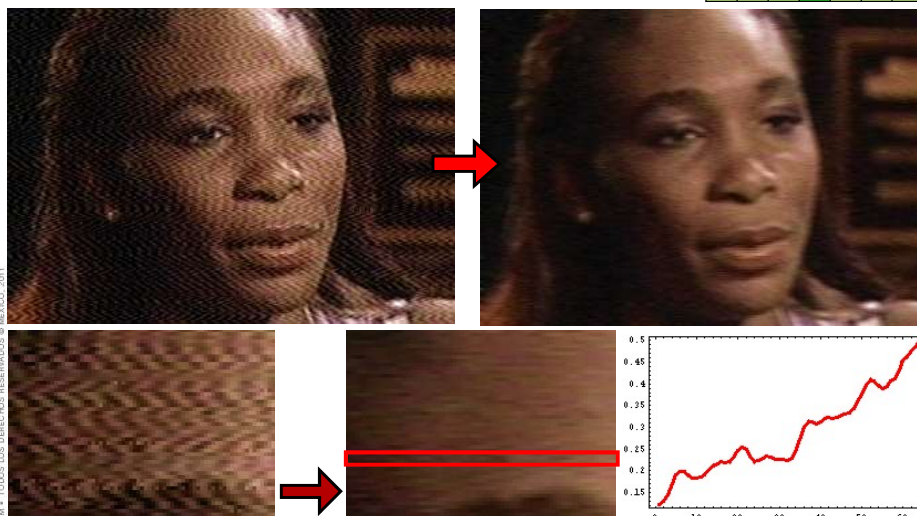


21

### 3.2.1. Operadores de suavizado.

- Aplicación de media horizontal de 7 píxeles. 

1	1	1	1	1	1	1
---	---	---	---	---	---	---



22

### 3.2.1. Operadores de suavizado.

- Ejemplo 2. Entrelazado de vídeo:** para aumentar la frecuencia de refresco del vídeo se separan las líneas pares y las impares (1 **campo** (*field*)=1/2 imagen). Al capturar una imagen, se mezclan los campos produciendo efectos raros.



25 imágenes/seg. → 50  
campos/seg. → 20 mseg.  
entre campos

23

### 3.2.1. Operadores de suavizado.

- Duplicar las filas pares (o las impares) y luego aplicar una media vertical de 2 píxeles (para interpolar).
 

1
1



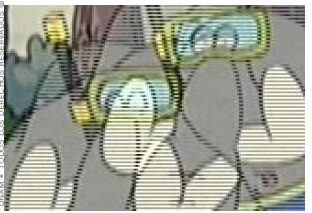
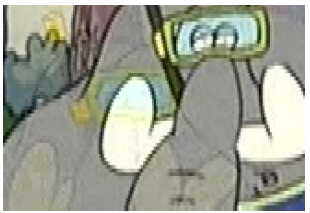
Imagen entrelazada



Duplicadas filas pares



Suavizado vertical (interp.)

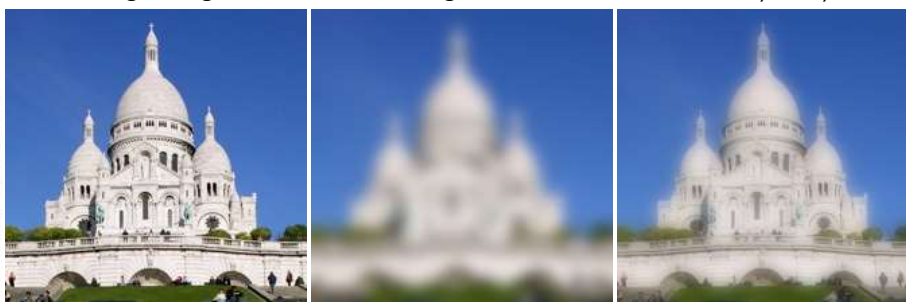

24

### 3.2.1. Operadores de suavizado.

- **Ejemplo 3. Efecto de niebla.** Dada una imagen bien definida, queremos simular una niebla (objetivo *empañado*).
- **Idea:** calcular una media ponderada entre la imagen original y un suavizado gaussiano de la imagen.

A. Imagen original

B. Suaviz. gauss. 40x40

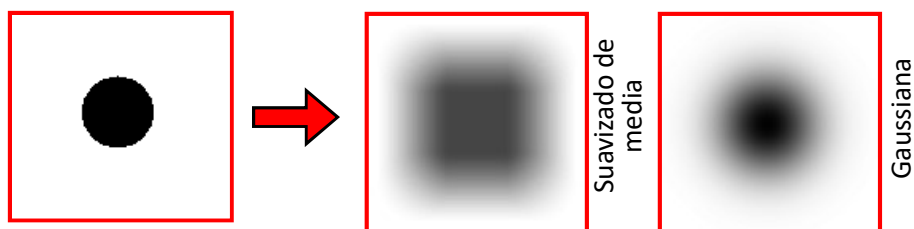
Suma:  $0,3A+0,7B$ 

- Se puede conseguir el mismo resultado con una sola convolución. ¿Cuál sería la máscara equivalente?

25

### 3.2.1. Operadores de suavizado.

- Cuando se aplica la media con tamaños grandes se obtienen resultados **artificiosos** (a menudo **indeseados**).



- **Motivo:** la media se calcula en una región cuadrada.
- Sería mejor aplicarla a una **región "redonda"**.
- O, mejor, usar suavizado gaussiano...

0	0	1	1	1	0	0
0	1	1	1	1	1	0
1	1	1	1	1	1	1
1	1	1	1	1	1	1
1	1	1	1	1	1	1
0	1	1	1	1	1	0
0	0	1	1	1	0	0

26

### 3.2.1. Operadores de suavizado.

- **Suavizado gaussiano:** media ponderada, donde los pesos toman la forma de una campana de Gauss.
- **Ejemplo.** Suavizado gaussiano horizontal.

**Campana de Gauss**

$f(x) = e^{-x^2/s^2}$

**Campana discreta**

1/64 · 

1	6	15	20	15	6	1
---	---	----	----	----	---	---

27

### 3.2.1. Operadores de suavizado.

- La **varianza,  $s^2$** , indica el nivel de suavizado.
  - **Varianza grande:** campana más ancha, más suavizado.
  - **Varianza pequeña:** campana más estrecha, menos suavizado.
  - Se mide en píxeles.
- **Cálculo de la máscara gaussiana (1D):** calcular la función, discretizar en el rango, discretizar en el valor y calcular el multiplicador...

1
1 1
1 2 1
1 3 3 1
1 4 6 4 1
1 5 10 10 5 1

- ¿No existe una forma más rápida?
- **Idea:** el triángulo de Pascal.

28

### 3.2.1. Operadores de suavizado.

- ¡Magia! Las filas del triángulo de Pascal forman discretizaciones de la campana de Gauss.

1/2 · 

1	1
---	---

1/4 · 

1	2	1
---	---	---

1/8 · 

1	3	3	1
---	---	---	---

1/16 · 

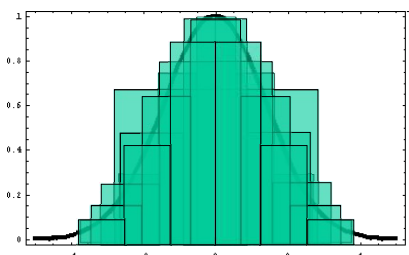
1	4	6	4	1
---	---	---	---	---

1/32 · 

1	5	10	10	5	1
---	---	----	----	---	---

1/64 · 

1	6	15	20	15	6	1
---	---	----	----	----	---	---



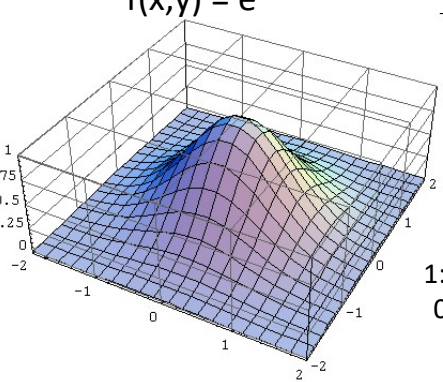
¿Por qué ocurre así?  
Recordar el **teorema central del límite**...

29

### 3.2.1. Operadores de suavizado.

- Normalmente, el suavizado gaussiano se aplica en dos dimensiones. Los pesos de la máscara dependen de la distancia al píxel central.

**Campana de Gauss 2D**

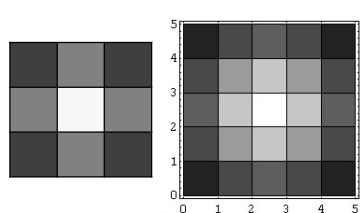
$$f(x,y) = e^{-\frac{x^2+y^2}{s^2}}$$


Máscara gaussiana de 3x3

1/16 · 

1	2	1
2	4	2
1	2	1

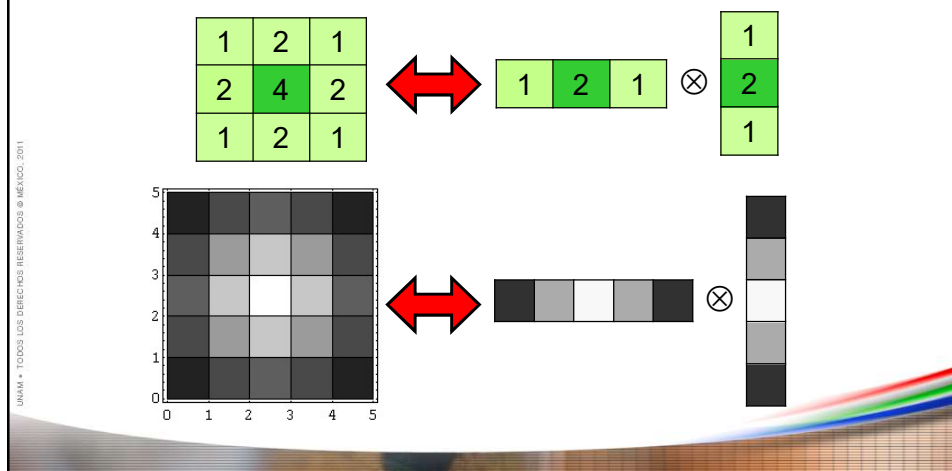
1: blanco  
0: negro



30

### 3.2.1. Operadores de suavizado.

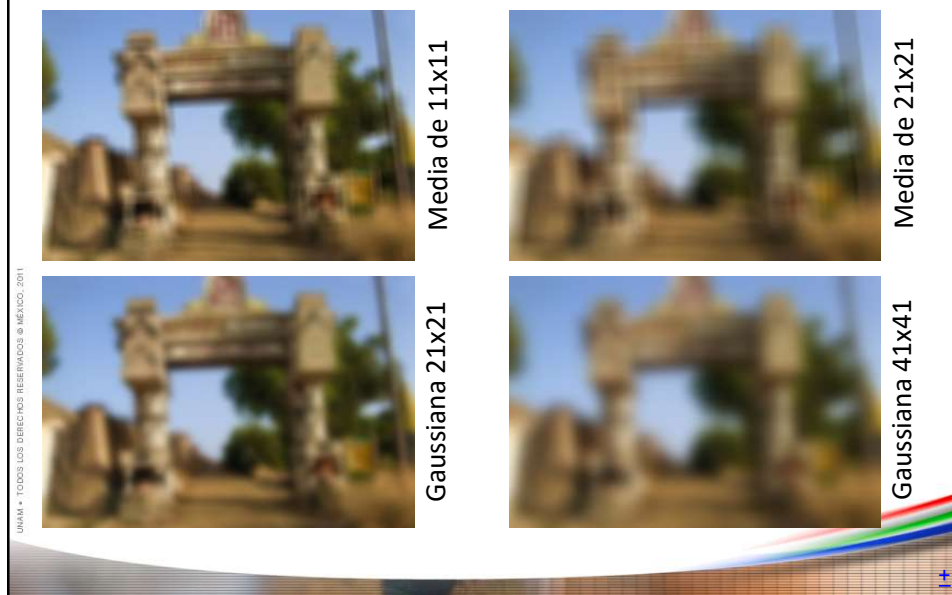
- **Propiedad interesante:** el filtro gaussiano es separable.
- **Resultado:** se puede obtener un suavizado 2D aplicando dos máscaras gaussianas bidimensionales, una horizontal y otra vertical.



31

### 3.2.1. Operadores de suavizado.

- **Comparación:** media y suavizado gaussiano, 2D.



32

### 3.2.1. Operadores de suavizado.

- **Comparación:** media y suavizado gaussiano, 1D.

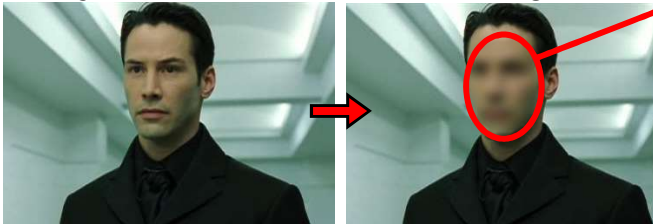
33

### 3.2.1. Operadores de suavizado.

- **Resultados** de la comparación:
  - Para conseguir un mismo “**grado de suavizado**” la máscara gaussiana debe ser de mayor tamaño.
    - Se puede tomar como medida la **varianza** de la máscara correspondiente.
  - El efecto del suavizado gaussiano es más **natural** (más similar a un desenfoque) que la media.
    - Suele ser más habitual en procesamiento y análisis de imágenes.
  - Ambos filtros son **separables**.
    - Si la máscara es de  $n \times n$ , pasamos de  $o(n^2)$  a  $o(2n)$ .

34

### 3.2.1. Operadores de suavizado.

- **Ejemplo 1. Protección de testigos.**


Se aplica un suavizado pero sólo en cierta región de interés (ROI), en este caso elíptica.

¿Cómo encontrar la posición de la cara automáticamente?
- **Ejemplo 2. Resaltar objetos de interés.**


Se suaviza el fondo para destacar al personaje, simulando un desenfoque.

UNAM - TODOS LOS DERECHOS RESERVADOS © MÉXICO, 2011

35

### 3.2.1. Operadores de suavizado.

- **Ejemplo 2b. Simulación de efecto *tilt-shift*.**


La imagen parece enfocada en una zona pequeña, simulando un efecto de **miniatura**.

UNAM - TODOS LOS DERECHOS RESERVADOS © MÉXICO, 2011

36

### 3.2.1. Operadores de suavizado.

- Ejemplo 3. Sombra difusa.**  
 Añadir a una imagen **A** una etiqueta de texto **B**, con un efecto de sombra difuminada.

Umbralizar B, con nivel 10

Suavizado gaussiano de 15x15, de U

Desplazar S en 7 píxeles en X e Y, y dividir por 2

Sumar U y D

M

37

### 3.2.1. Operadores de suavizado.

Multiplicar A por M, en posición  $(x_0, y_0)$

Sumar T y B, en posición  $(x_0, y_0)$

38

### 3.2.2. Operadores de bordes.

- **Perfilado y detección de bordes** están relacionados con el suavizado:
  - **Suavizado**: reducir las variaciones en la imagen.
  - **Perfilado**: aumentar las variaciones en la imagen.
  - **Bordes**: encontrar las zonas de variación.

Perfil de una fila de una imagen

39

### 3.2.2. Operadores de bordes.

- Matemáticamente, la variación de una función **f(x)** cualquiera viene dada por la **derivada** de esa función:
  - $f'(x) > 0$  : función creciente en X
  - $f'(x) < 0$  : función decreciente en X
  - $f'(x) = 0$  : función uniforme en X
- En nuestro caso, tenemos **funciones discretas**. La “**derivada discreta**” se obtiene calculando diferencias.

$$f'(x) = \Delta f / \Delta x$$

$$\Delta f = f(x) - f(x-1) \quad \Delta x = 1$$

$$f'(x) = f(x) - f(x-1)$$

- **Conclusión:** la derivada se calculará con máscaras del tipo:
 

-1	1
----	---

40

### 3.2.2. Operadores de bordes.

**Máscara de derivada en X (M):**

-1	1
----	---

**Derivada en Y:**

-1
1

**Derivadas en diagonales:**

-1	0	0	-1
0	1	1	0

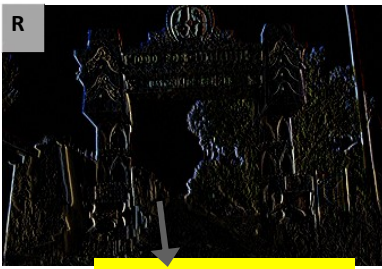
- Ejemplo. Derivada en X.  $R := M \otimes A$

**A**



Imagen de entrada

**R**



Derivada en X (x2)

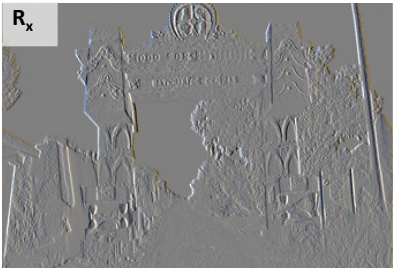
$[0..255] - [0..255] = [-255..255]$

41

### 3.2.2. Operadores de bordes.

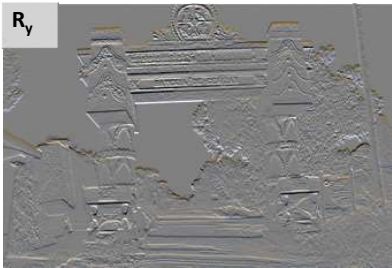
- Los bordes decrecientes se saturan a 0...
- Podemos sumar 128 para apreciar mejor el resultado:
  - Gris (128): diferencia 0
  - Negro: decreciente
  - Blanco: creciente

**R<sub>x</sub>**



Derivada X (+128)

**R<sub>y</sub>**



Derivada Y (+128)

- Se produce una especie de "bajorrelieve" (*emboss*), que puede usarse en efectos especiales.

42

### 3.2.2. Operadores de bordes.

- Los operadores de bordes son muy **sensibles al ruido**.
- Es posible (y adecuado) **combinar** los operadores de **bordes** con **suavizados**.

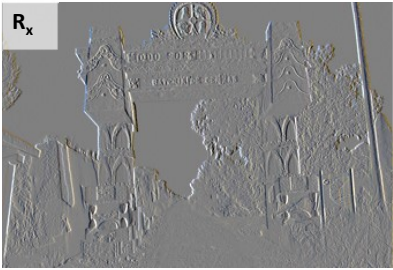
-1	1
----	---

⊗

1	2	1
2	4	2
1	2	1

=

1	1	-1	-1
2	2	-2	-2
1	1	-1	-1



$R_x$



Derivada X (+128)



Suaviz. + Deriv. X

UNAM - TODOS LOS DERECHOS RESERVADOS © MÉXICO, 2011

43

### 3.2.2. Operadores de bordes.

- Existen algunos **operadores de bordes estándar**.
- **Filtros de Prewitt:**

Filtro de Prewitt 3x3, derivada en X

-1	0	1
-1	0	1
-1	0	1

Filtro de Prewitt 3x3, derivada en Y

-1	-1	-1
0	0	0
1	1	1
- **Filtros de Scharr:**

Filtro de Scharr 3x3, derivada en X

-3	0	3
-10	0	10
-3	0	3

Filtro de Scharr 3x3, derivada en Y

-3	-10	-3
0	0	0
3	10	3

UNAM - TODOS LOS DERECHOS RESERVADOS © MÉXICO, 2011

44

### 3.2.2. Operadores de bordes.

- **Filtros de Sobel:** se construyen usando la derivada de la gaussiana.

Filtro de Sobel  
3x3, derivada  
en X

-1	0	1
-2	0	2
-1	0	1

Filtro de Sobel  
3x3, derivada  
en Y

-1	-2	-1
0	0	0
1	2	1

- Además, el filtro de Sobel permite calcular derivadas conjuntas en X e Y, derivadas segundas, terceras, etc.
- **Ejemplo.** Derivada segunda en X.

-1	1	$\otimes$	-1	1	=	-1	2	-1
----	---	-----------	----	---	---	----	---	----

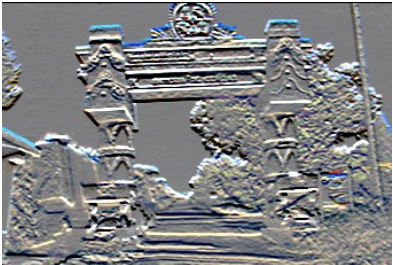
45

### 3.2.2. Operadores de bordes.

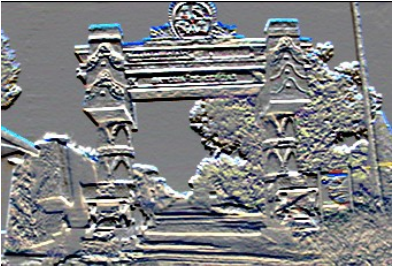
- **Ejemplos.**



Imagen de entrada



Prewitt Y (3x3)



Sobel Y (3x3)

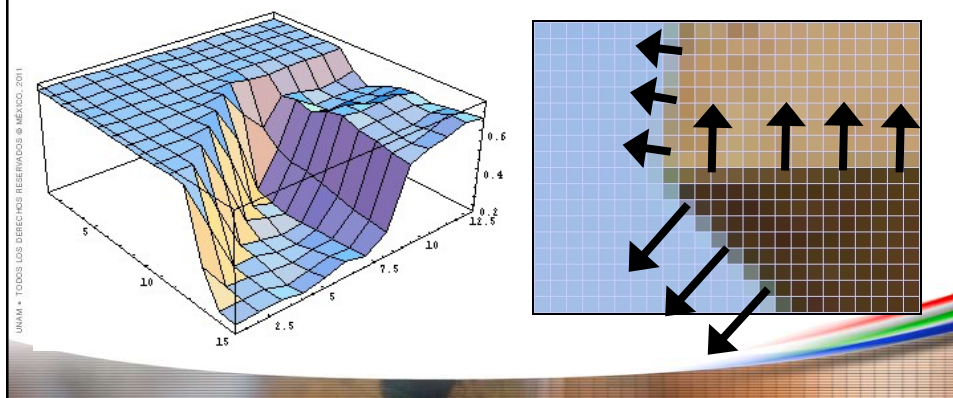


Sobel 2ª deriv. Y

46

### 3.2.2. Operadores de bordes.

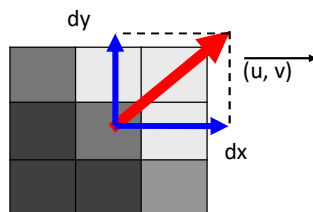
- Realmente, en dos o más dimensiones, en lugar de la derivada tiene más sentido el concepto de **gradiente**.
- ¿Qué es el gradiente? → Repasar cálculo...
- **El gradiente** indica la dirección de máxima variación de una función (en 2D, la máxima pendiente).



47

### 3.2.2. Operadores de bordes.

- El **gradiente** en un punto es un vector  $(u, v)$ :
  - **Ángulo:** dirección de máxima variación.
  - **Magnitud:** intensidad de la variación.



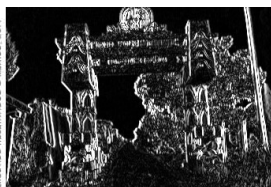
- El **gradiente** está relacionado con las **derivadas**:
  - $u$  = Derivada en X del punto
  - $v$  = Derivada en Y del punto
  - Teniendo  $dy$  y  $dx$ , ¿cuánto vale el ángulo y la magnitud?

48

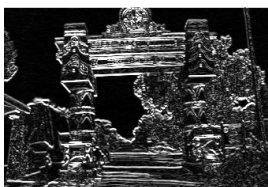
### 3.2.2. Operadores de bordes.

- **Cálculo del gradiente:**

- Calcular **derivada en X: Dx** (por ejemplo, con un filtro de Sobel, Prewitt,...)
- Calcular **derivada en Y: Dy**
- **Magnitud del gradiente:**  $\sqrt{Dx^2 + Dy^2}$
- **Ángulo del gradiente:**  $\text{atan2}(Dy, Dx)$



Valor absoluto de derivada en X (Sobel de 3x3)



Valor absoluto de derivada en Y (Sobel de 3x3)



Magnitud del gradiente

49

### 3.2.2. Operadores de bordes.

- El gradiente da lugar al concepto de **borde**.
- Un **borde** en una imagen es una curva a lo largo de la cual el gradiente es máximo.

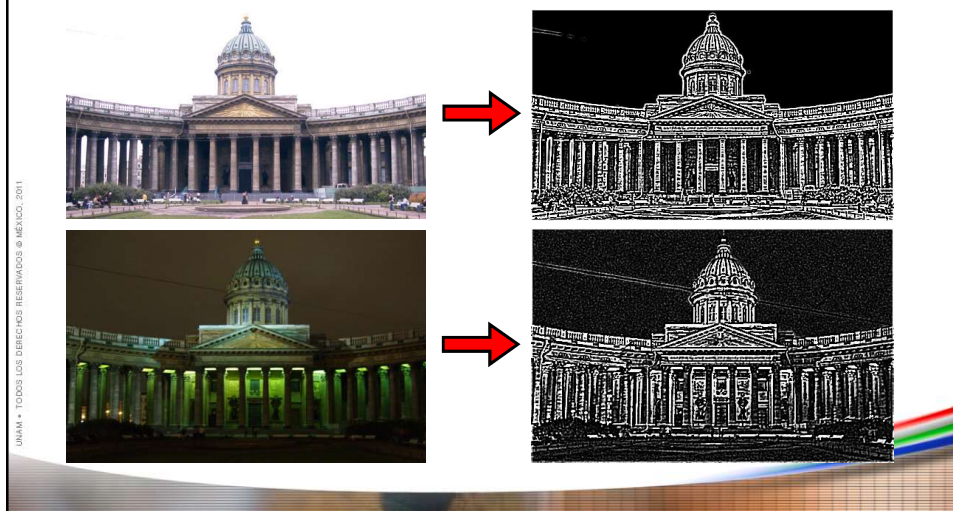


El borde es perpendicular a la dirección del gradiente.

50

### 3.2.2. Operadores de bordes.

- Los bordes de una escena son **invariantes a cambios** de luminosidad, color de la fuente de luz, etc. → En **análisis de imágenes** usar los bordes (en lugar de las originales).



51

### 3.2.2. Operadores de bordes.

- **Otras formas de calcular los bordes:**
  1. Calcular la derivada en diferentes direcciones:  $D_1$ ,  $D_2$ ,  $D_3$ ,  $D_4$ .
  2. Para cada punto, la magnitud del gradiente es la derivada de máximo valor absoluto:

$$G(x,y) := \max \{ |D_1(x,y)|, |D_2(x,y)|, |D_3(x,y)|, |D_4(x,y)| \}$$

3. La dirección del gradiente viene dada por el ángulo que ha producido el máximo:

$$A(x,y) := \operatorname{argmax} \{ |D_1(x,y)|, |D_2(x,y)|, |D_3(x,y)|, |D_4(x,y)| \}$$

-1	-1	-1
0	0	0
1	1	1

 $D_1$ : N-S

-1	-1	0
-1	0	1
0	1	1

 $D_2$ : NE-SO

-1	0	1
-1	0	1
-1	0	1

 $D_3$ : E-O

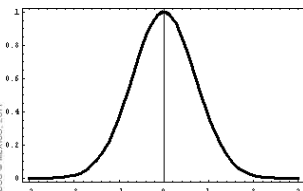
0	1	1
-1	0	1
-1	-1	0

 $D_4$ : SE-NO

52

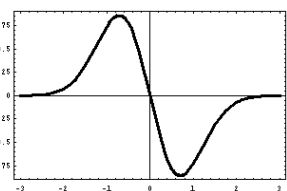
### 3.2.2. Operadores de bordes.

- Otra forma más sencilla (aproximada) es usar máscaras de convolución adecuadas, por ejemplo de **Laplace**.
- La **función de Laplace** es la segunda derivada de la gaussiana.



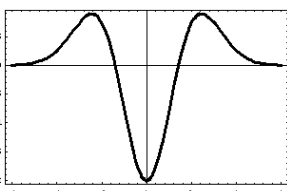
$f(x) = e^{-x^2/s^2}$

**Másc. Gaussiana** Operador de suavizado



$df(x)/dx$

**Másc. Sobel** Operador de derivación



$d^2f(x)/dx^2$

**Másc. Laplaciana** Operador de gradiente

53

### 3.2.2. Operadores de bordes.

- La máscara **laplaciana** se define usando la función de Laplace.
- Ejemplos de **máscaras de Laplace**.

0	1	0
1	-4	1
0	1	0

-1	-1	-1
-1	8	-1
-1	-1	-1

“Diferencia entre el píxel central y la media de sus vecinos...”

6	5	4	3	2	1	0
5	4	3	2	1	0	0
4	3	2	1	0	0	0
3	2	1	0	0	0	0
2	1	0	0	0	0	0
1	0	0	0	0	0	0
0	0	0	0	0	0	0



Imagen de entrada

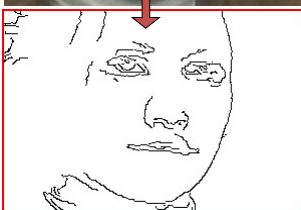
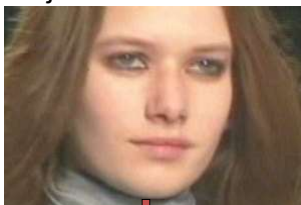


Laplaciana 2 (3x3)

54

### 3.2.2. Operadores de bordes.

- **Detector de bordes de Canny:**
  - No sólo usa convoluciones (operadores de gradiente), sino que busca el **máximo gradiente** a lo largo de un borde.
  - El resultado es una **imagen binaria** (borde/no borde), ajustable mediante un umbral.



55

### 3.2.3. Operadores de perfilado.

- **Perfilado:** destacar y hacer más visibles las variaciones y bordes de la imagen. Es lo contrario al suavizado.
- Permite eliminar la apariencia borrosa de las imágenes, debida a imperfecciones en las lentes.
- ... aunque tampoco se pueden hacer milagros...



← Suavizado

Original

Perfilado →

56

### 3.2.3. Operadores de perfilado.

- El perfilado se puede conseguir sumando a la imagen original, la **laplaciana** ponderada por cierto factor.
- Lo cual equivale a usar una máscara de convolución adecuada:

$$1 \cdot \begin{array}{|c|c|c|} \hline \text{Laplaciana} \\ \hline -1 & -1 & -1 \\ \hline -1 & 8 & -1 \\ \hline -1 & -1 & -1 \\ \hline \end{array} + \begin{array}{|c|c|c|} \hline \text{Identidad} \\ \hline 0 & 0 & 0 \\ \hline 0 & 1 & 0 \\ \hline 0 & 0 & 0 \\ \hline \end{array} = \begin{array}{|c|c|c|} \hline \text{Perfilado} \\ \hline -1 & -1 & -1 \\ \hline -1 & 9 & -1 \\ \hline -1 & -1 & -1 \\ \hline \end{array}$$

- Más o menos perfilado dando distintos pesos,  $a$ .

$$a \cdot \begin{array}{|c|c|c|} \hline 0 & -1 & 0 \\ \hline -1 & 4 & -1 \\ \hline 0 & -1 & 0 \\ \hline \end{array} + \begin{array}{|c|c|c|} \hline 0 & 0 & 0 \\ \hline 0 & 1 & 0 \\ \hline 0 & 0 & 0 \\ \hline \end{array} = \begin{array}{|c|c|c|} \hline 0 & -a & 0 \\ \hline -a & 4a+1 & -a \\ \hline 0 & -a & 0 \\ \hline \end{array}$$

Ojo: la función cvLaplace usa máscaras "invertidas", luego  $a$  debe ser  $< 0$

57

### 3.2.3. Operadores de perfilado.

- Ejemplos. Variando pesos y tamaño de la laplaciana.



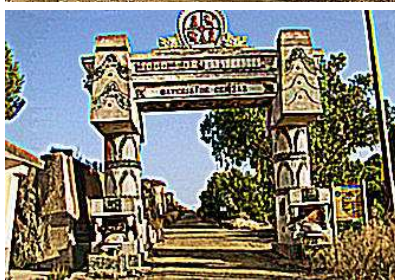
Imagen de entrada



Perfilado 33%, 3x3



Perfilado 60%, 1x1



Perfilado 15%, 7x7

58

### 3.2.3. Operadores de perfilado.

- **Cuidado con el perfilado.** La operación de perfilado aumenta el nivel de ruido de la imagen.



Imagen con ruido  
por interferencias  
TV



Perfilado 33%, 3x3



Imagen con ruido  
por compresión  
JPEG



Perfilado 60%, 3x3

59

### 3.2. Suavizado, perfilado y bordes.

#### Conclusiones:

- Las **convoluciones** son una herramienta fundamental en procesamiento de imágenes.
  - **Una misma base común:** combinaciones lineales de una vecindad local de los píxeles (de cierto tamaño).
  - **Diversos usos:** según los valores de los coeficientes: suavizado, eliminación de ruido, bordes, perfilado, etc.
- Se pueden definir **operaciones similares** sobre **vídeo** (usando la dimensión temporal, por ejemplo, suavizado a lo largo del tiempo), y sobre **audio digital** (por ejemplo, suavizado de la señal o introducción de eco).
- Es importante conocer el **significado matemático** de los procesos aplicados (derivadas, gradientes, integrales,...).

60

### 3.3. Filtros no lineales.

- **Recordatorio:** las transformaciones locales son funciones del tipo:

$$R(x,y) := f(A(x-k,y-k), \dots, A(x,y), \dots, A(x+k,y+k))$$

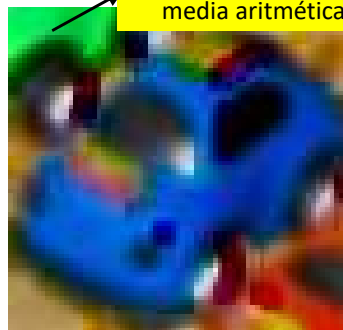
- En las convoluciones, **f** es una **combinación lineal** cualquiera. Pero...
- También puede ser interesante usar otras **funciones no lineales**.
- **Ejemplo**, media geométrica.

$$R(x,y) := \sqrt[4]{A(x-1,y-1) \cdot A(x,y-1) \cdot A(x-1,y) \cdot A(x,y)}$$

61

### 3.3. Filtros no lineales.

- **Ejemplo.** Media geométrica de 5x5. ... muy parecido a la media aritmética...



- Aunque existen muchas (en teoría infinitas) posibles transformaciones no lineales, en la práctica no todas son útiles e interesantes.
- Las que más se usan son: **máximo**, **mínimo** y **mediana**.

62

### 3.3. Filtros no lineales.

- **Filtro de Máximo:**

$R(x,y) := \max \{A(x-k,y-k), \dots, A(x,y), \dots, A(x+k,y+k)\}$   
donde  $k$  es el radio, el tamaño (o *apertura*) es  $2k+1$



63

### 3.3. Filtros no lineales.

- El resultado es un cierto efecto de **difuminación** y **aclaramiento** de la imagen. Desaparecen los detalles más oscuros.
- Si el **tamaño es grande**, pueden ocurrir dos efectos:

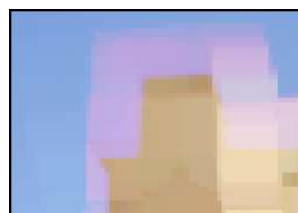
1. **Efecto de cuadrículado.**

Como el máximo se aplica en una zona cuadrada, los píxeles muy claros *generan* un cuadrado uniforme alrededor.



2. **Aparición de colores falsos.**

Al aplicarlo en los tres canales (R,G,B) independientemente, el máximo en los 3 puede no corresponder a un color presente en la imagen original.



64

### 3.3. Filtros no lineales.

- **Filtro de Mínimo:**

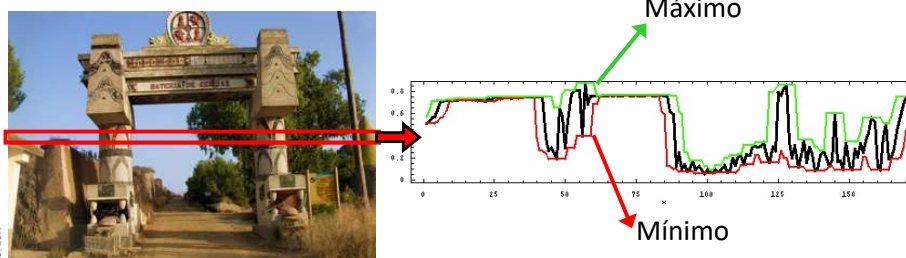
$R(x,y) := \min \{A(x-k,y-k), \dots, A(x,y), \dots, A(x+k,y+k)\}$   
 donde  $k$  es el radio, el tamaño (o *apertura*) es  $2k+1$



65

### 3.3. Filtros no lineales.

- El efecto es **parecido** al máximo, pero tomando los valores menores (los más oscuros).



- **Ideas:**

- Para evitar el **efecto de cuadrículado** se podría aplicar el máximo/mínimo a una zona circular.
- Para evitar la aparición de **colores falsos** se podría tomar el máximo de las sumas de R+G+B.

66

### 3.3. Filtros no lineales.

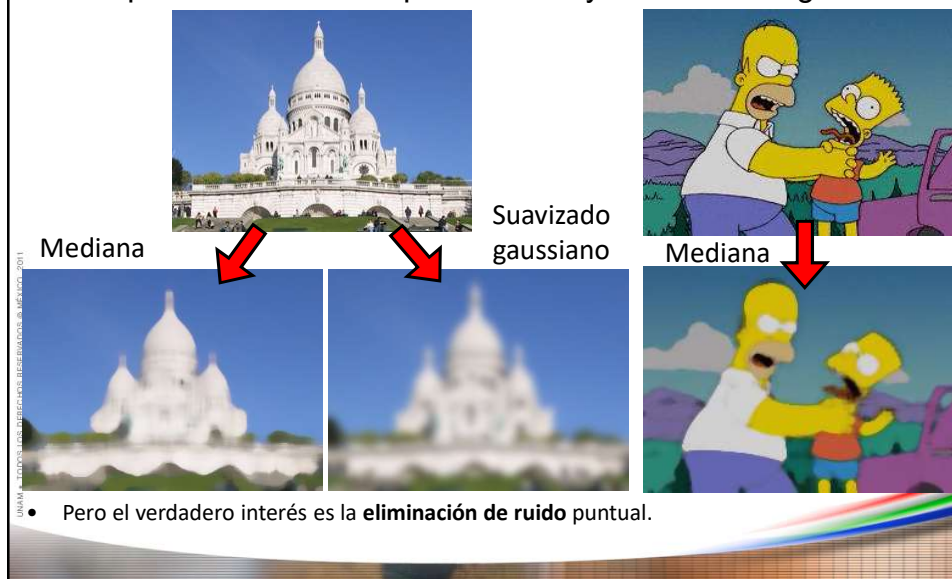
- Otro filtro relacionado es el de la **mediana**.
  - La **mediana** de  $m$  números es un número  $p$  tal que  $\lceil m/2 \rceil$  de esos números son  $\leq p$ , y otros  $\lfloor m/2 \rfloor$  son  $\geq p$ .
- $$R(x,y) := \text{mediana} \{A(x-k,y-k), \dots, A(x,y), \dots, A(x+k,y+k)\}$$



67

### 3.3. Filtros no lineales.

- La mediana produce un efecto de **suavizado**, aunque más “abrupto” en los bordes que la media y el suavizado gaussiano.

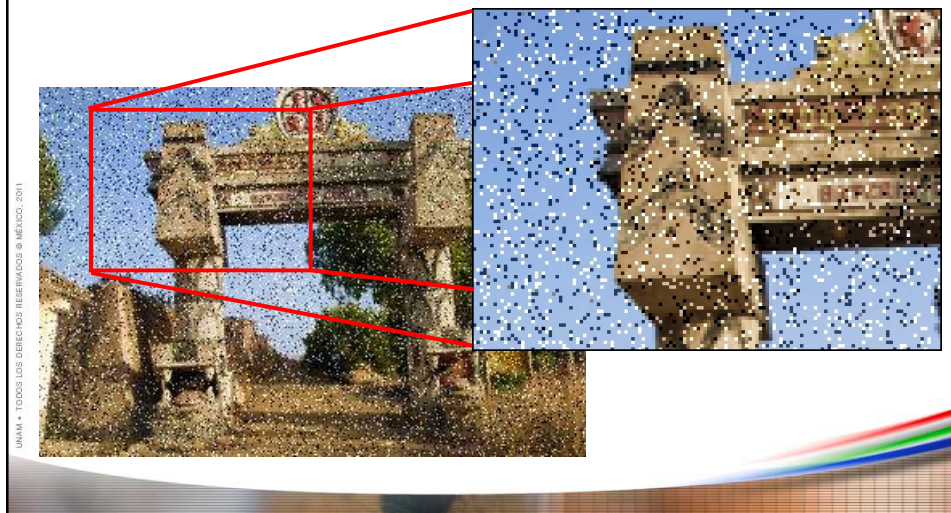


- Pero el verdadero interés es la **eliminación de ruido puntual**.

68

### 3.3. Filtros no lineales.

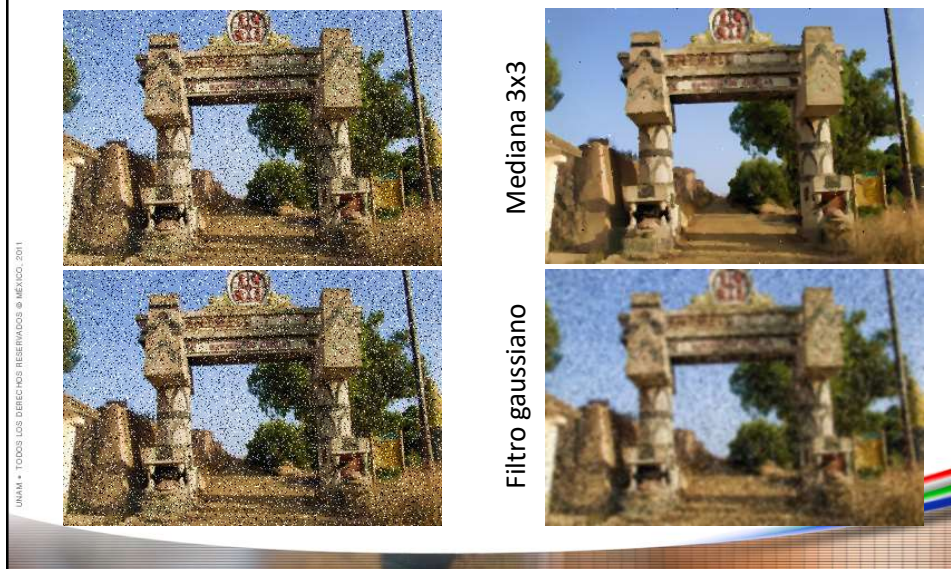
- **Ejemplo.** El ruido denominado “sal y pimienta” es producido por picos de perturbación, positivos o negativos. Puede deberse a un canal ruidoso.



69

### 3.3. Filtros no lineales.

- Se puede intentar eliminar (o reducir) el ruido con un filtro gaussiano o con una mediana.



70

### 3.3. Filtros no lineales.

- Se puede intentar eliminar (o reducir) el ruido con un filtro gaussiano o con una mediana.



Mediana 3x3



Con este tipo de ruido funciona mucho mejor



Filtro gaussiano



El ruido se difumina, pero no llega a desaparecer

71

### 3.3. Filtros no lineales.

- Otros ejemplos de eliminación de ruido.





Mediana 7x7





Mediana 7x3

72

### 3.3. Filtros no lineales.

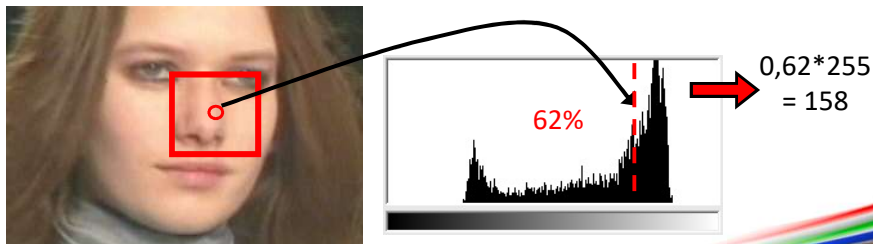
- **Más filtros no lineales:** recordar la ecualización local del histograma.
  - Considerar una **operación global** como el estiramiento, la ecualización del histograma o la umbralización.
  - **Globalmente** se calculan los parámetros y se aplican a **toda la imagen**: estiramiento (máximo y mínimo del histograma), ecualización (función de ecualización) y umbralización (umbral a aplicar).
  - En lugar de aplicarlos globalmente, calcular los **parámetros para cada punto**, usando una vecindad local.
  - Aplicar la transformación a cada punto, usando sus parámetros **específicos**.

73

### 3.3. Filtros no lineales.

- **Algoritmo. Ecualización local de tamaño  $axb$ :**
  1. Para cada punto  $(x,y)$  de la imagen  $A$ , calcular el histograma de una región rectangular desde  $(x-a, y-b)$  hasta  $(x+a, y+b) \rightarrow H(v)$
  2. Calcular el percentil del valor  $A(x,y)$ , es decir:  

$$p := (H(0) + H(1) + \dots + H(A(x,y))) / ((2a+1)(2b+1))$$
  3. Hacer  $R(x,y) := 255 \cdot p$



74

### 3.3. Filtros no lineales.

- **Ejemplo.** Ecuación local del histograma.



Imagen de entrada

Resolución: 299x202



Tamaño: 25x25

Tamaño: 50x50

Tamaño: 120x120

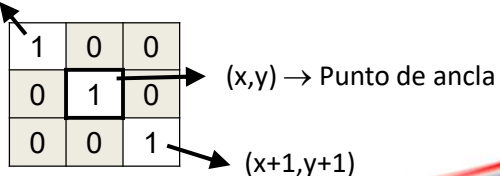
- La misma idea se podría aplicar a umbralización y estiramiento.

75

### 3.4. Morfología matemática.

- Los **operadores de morfología matemática** son un conjunto de filtros locales sencillos, que se pueden combinar para obtener resultados más complejos.
- Originalmente, están definidos sobre **imágenes binarias**.
- La idea es muy parecida a una convolución, pero utilizando las **operaciones booleanas AND** y OR.
- **Ejemplo.**  $R(x,y) := A(x-1,y-1) \text{ AND } A(x,y) \text{ AND } A(x+1,y+1)$

Elemento  
estructurante  
(= máscara de  
convolución)



76

### 3.4. Morfología matemática.

- El **elemento estructurante** define los píxeles que se usan en la operación y los que no.
- Dado un elemento estructurante, **E**, de cierta forma y tamaño, y una imagen binaria **B**, se definen dos **operaciones**:
  - **Dilatación  $B \oplus E$** . Combinar con OR los valores correspondientes a los píxeles 1 del elemento estructurante.
  - **Erosión  $B \otimes E$** . Combinar con AND los valores correspondientes a los píxeles 1 del elemento estructurante.
- La idea se puede generalizar a **imágenes no binarias**:
  - **Dilatación**. Combinar con Máximo.
  - **Erosión**. Combinar con Mínimo.

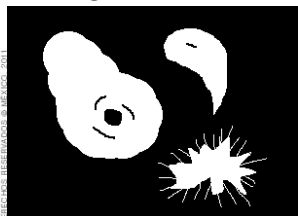
77

### 3.4. Morfología matemática.

- El efecto de la **dilatación** es **extender o ampliar** las regiones de la imagen con valor 1 (color blanco), mientras que la **erosión** las **reduce**.
- La cantidad depende del **tamaño** y **forma** del elemento estructurante y del **número de veces** que se aplican.

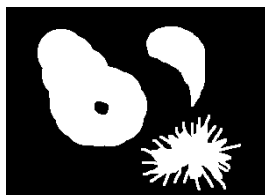
#### • Ejemplo.

Imagen de entrada

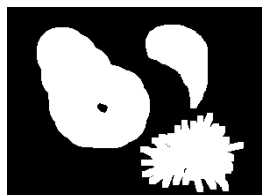


Elemento estruct

1	1	1
1	1	1
1	1	1



Dilatación 1



Dilatación 3



Erosión 1



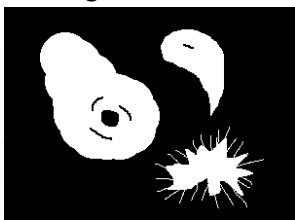
Erosión 3

78

### 3.4. Morfología matemática.

- Existen otras dos **operaciones frecuentes** basadas en erosión y dilatación:
  - **Abrir.** Aplicar erosión y después dilatación:  $(B \otimes E) \oplus E$
  - **Cerrar.** Aplicar dilatación y después erosión:  $(B \oplus E) \otimes E$

Imagen de entrada

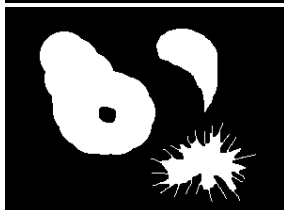


Elemento estructurante

1	1	1
1	1	1
1	1	1



**Abrir:** desaparecen los puntos sueltos o estructuras finas



**Cerrar:** se rellenan los huecos negros de cierto tamaño

79

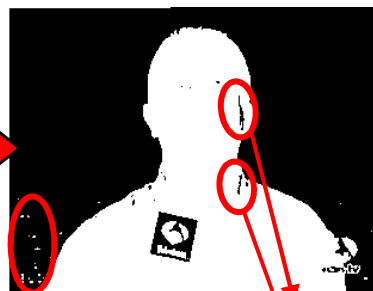
### 3.4. Morfología matemática.

- Ejemplo. Segmentación de objetos.**  
Para segmentar un objeto del fondo usamos una simple umbralización. Funciona más o menos bien, pero aparecen algunos puntos mal clasificados.

Imagen de entrada



Umbralizada ( $u=130$ )



Falsos positivos

Falsos negativos

- Usar morfología para arreglar los falsos.

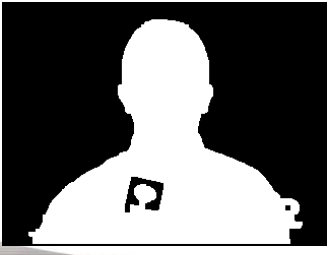
80

### 3.4. Morfología matemática.

Imagen umbralizada

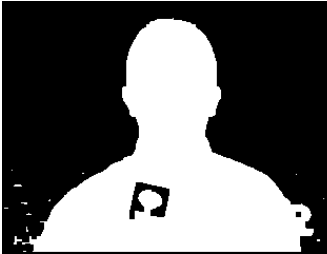


Abrir 1  $(B \otimes E) \oplus E$

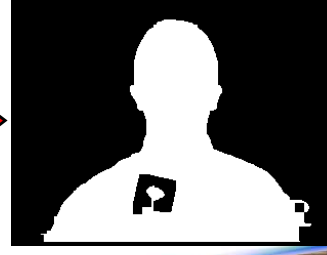


Eliminar falsos positivos

Cerrar 2  $(B \oplus E \oplus E) \otimes E \otimes E$



Erosión 2  $(B \otimes E) \otimes E$



Eliminar píxeles de los bordes

Eliminar falsos negativos

Eliminar falsos positivos

Eliminar píxeles de los bordes

81

### 3.4. Morfología matemática.

- El resultado es la **máscara** para segmentar el objeto.




- ¿Para qué se hacen las dos últimas erosiones?




82

### 3.4. Morfología matemática.

- En **imágenes no binarias**, el resultado de dilatación y erosión es parecido a las operaciones de máximo y mínimo.
- De hecho, es igual si el elemento estructurante es todo 1.

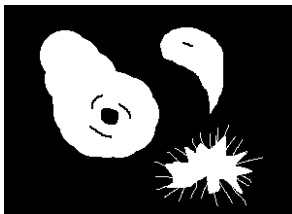


83

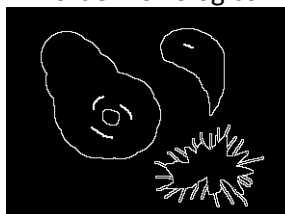
### 3.4. Morfología matemática.

- Existen otras operaciones de morfología, basadas en las elementales, que son útiles en análisis de imágenes.
- **Ejemplo 1. Borde morfológico:  $(B \ominus E) - B$**

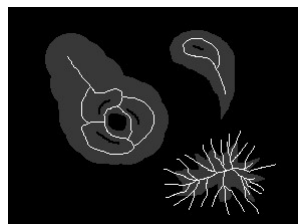
Imagen de entrada



Borde morfológico



- **Ejemplo 2. Adelgazamiento (*thinning*)**. Aplicar una erosión, pero no eliminar el punto (no poner a 0) si se separa una región conexa en varias o si sólo queda un punto.



84

### 3. Filtros y transformaciones locales.

#### Conclusiones:

- Las operaciones de **procesamiento local** son **esenciales** en mejora de imágenes, restauración, análisis, etc.
- Dos **categorías** básicas:
  - **Filtros lineales o convoluciones:** la salida es una combinación lineal de los píxeles en una vecindad → **Suavizado, bordes, perfilado**, etc.
  - **Filtros no lineales:** se usan funciones no lineales → **Máximo, mínimo**, operaciones de **morfología**, etc.
- Es posible **combinarlas** con operaciones de procesamiento global.
- La idea de “localidad” se puede extender a vídeo y a sonido, considerando la **dimensión temporal**.